

# PLAYAS Y PUERTO DE VALENCIA: UNA RELACIÓN COMPLEJA

Mesa Redonda sobre controversias del puerto

Josep E. Pardo Pascual

Grup de Cartografia GeoAmbiental i Teledetecció Dept. Eng. Cartogràfica, Geodesia i Fotogrametria UNIVERSITAT POLITÈNCICA DE VALÈNICA







### **ESQUEMA BÁSICO**

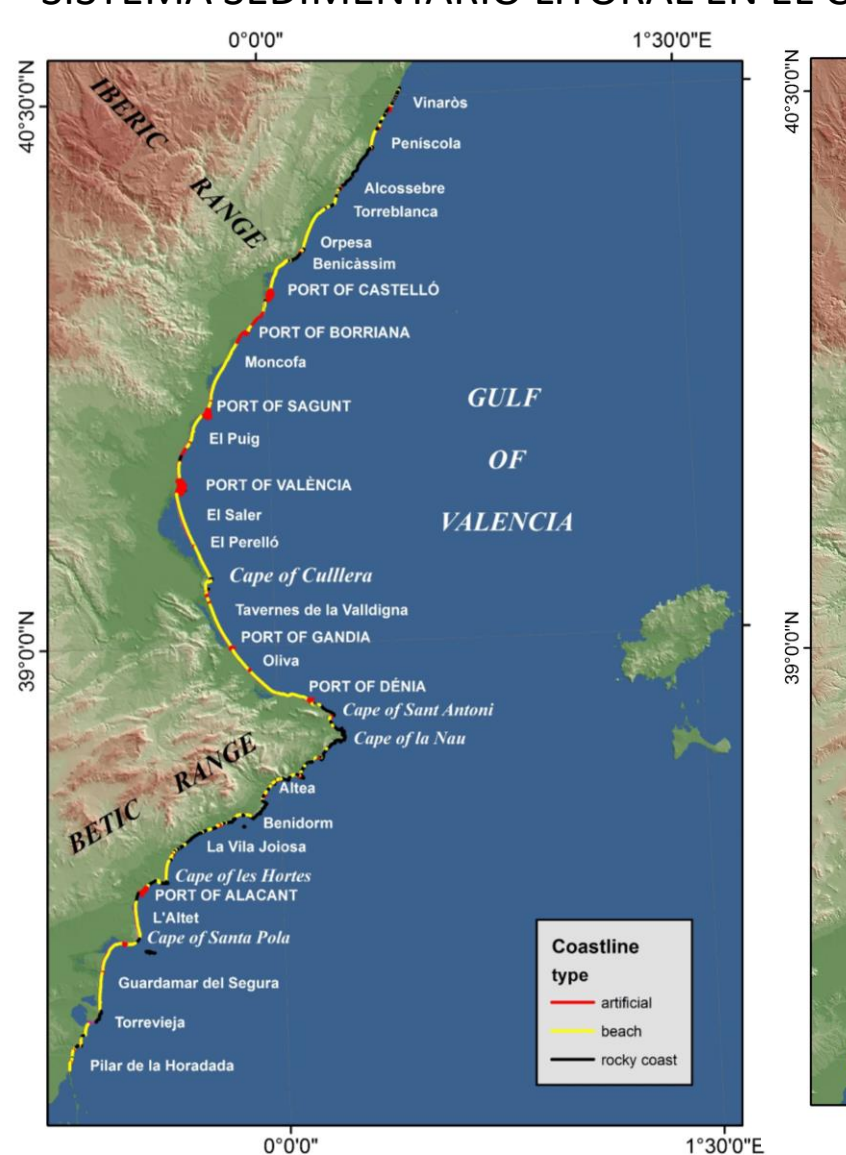
- El sistema sedimentario litoral dentro del que se ha insertado el puerto de Valencia
- Procesos naturales y antrópicos que están determinando la evolución de las playas.
  - Acción humana:
    - El impacto directo del puerto
    - Modificación en el régimen de aportes sedimentarios fluviales a la costa.
    - Aportaciones sedimentarias artificiales.
  - Fenómenos naturales:
    - Incremento en la frecuencia y magnitud de los temporales.
- Monitorización sistemática de la evolución de las playas entre Valencia y Cullera (1984-2020)
- Conclusiones esenciales.

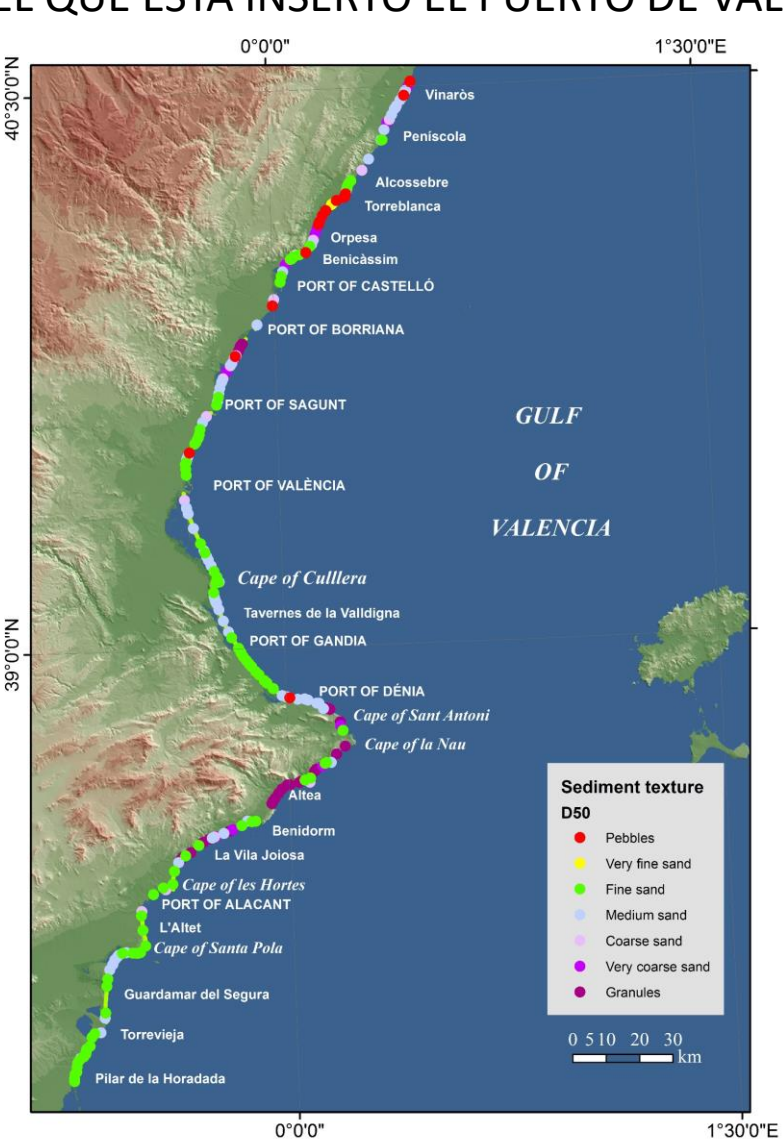


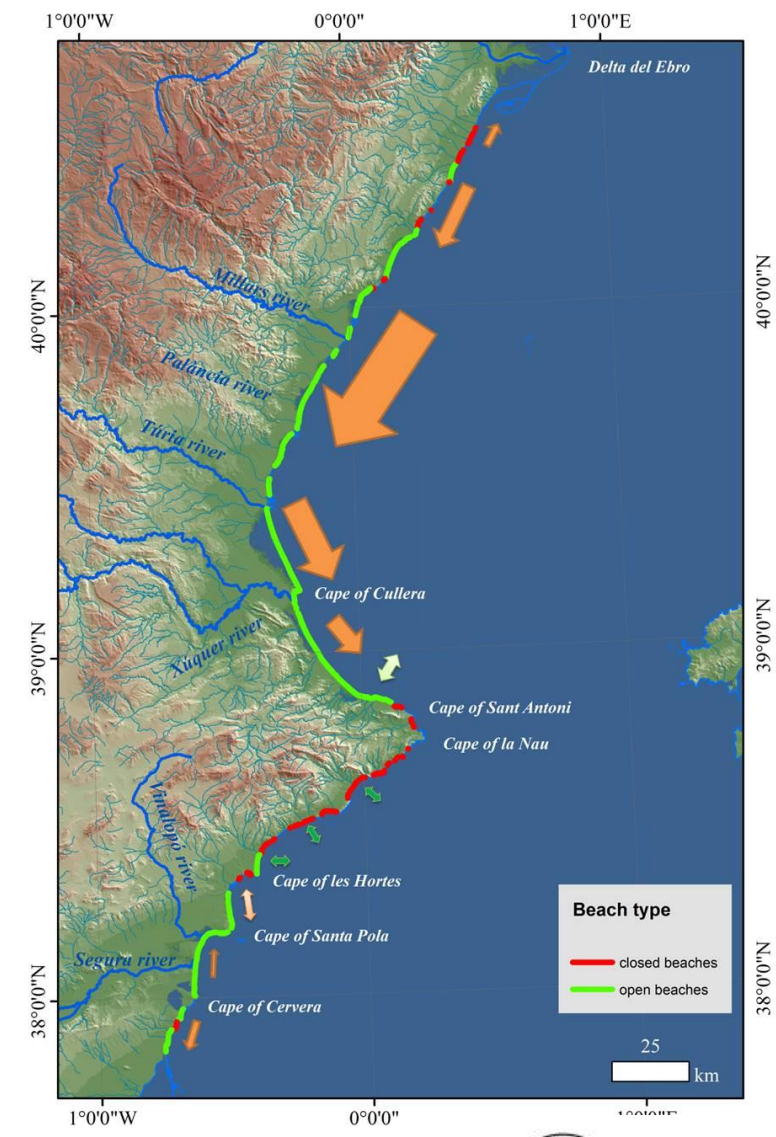




#### SISTEMA SEDIMENTARIO LITORAL EN EL QUE ESTÁ INSERTO EL PUERTO DE VALENCIA



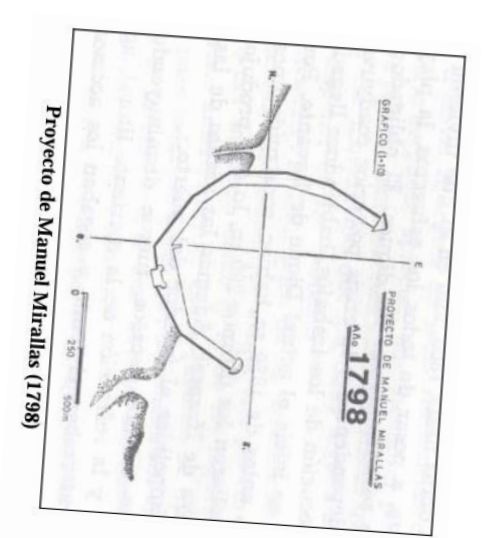






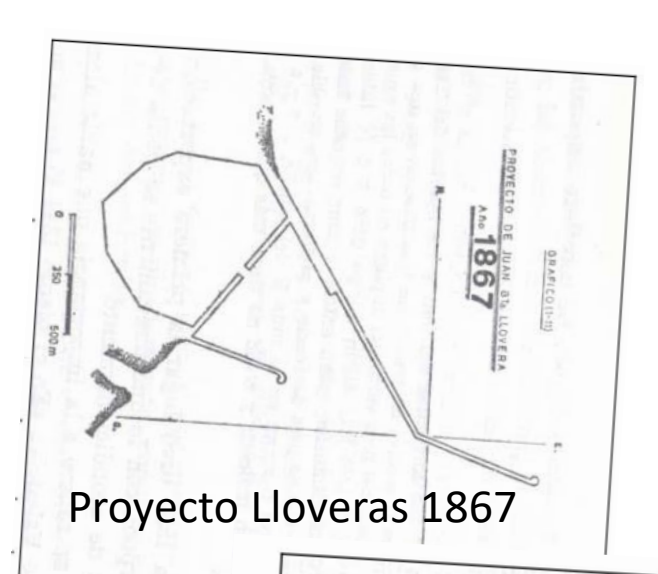
## **//CGAT**

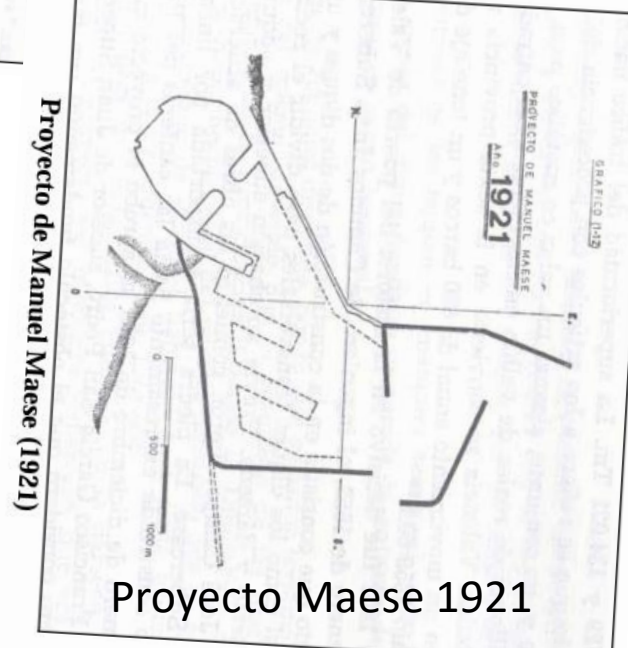
## El puerto de Valencia



Proyecto Mirallas 1798





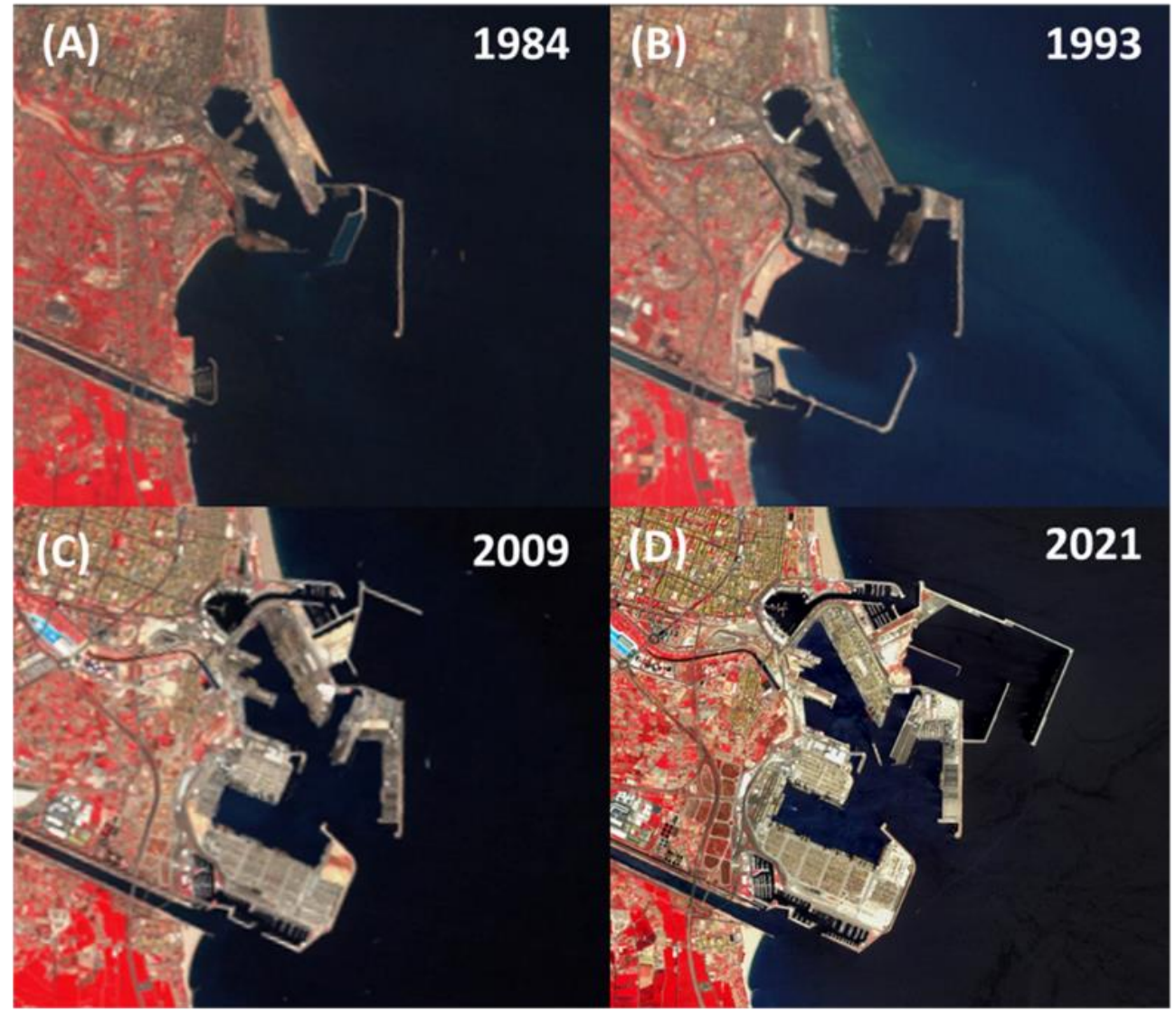


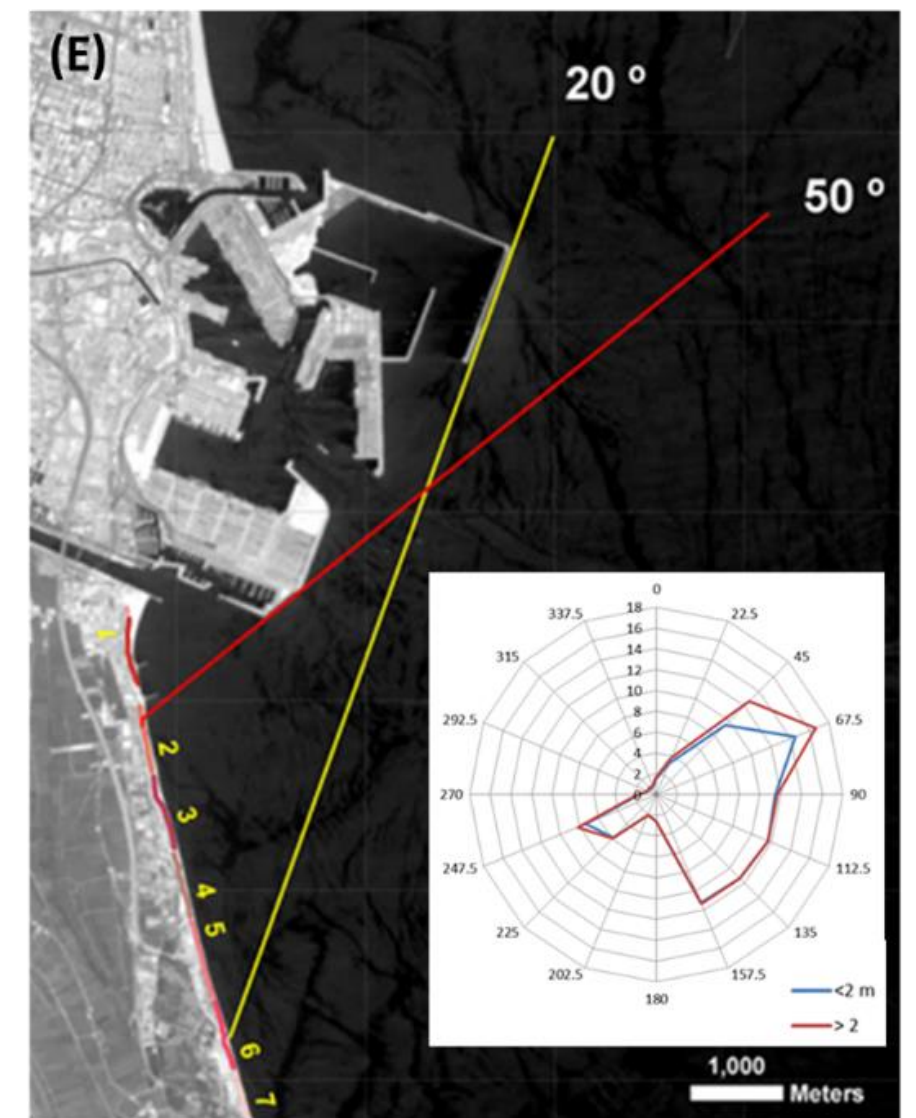










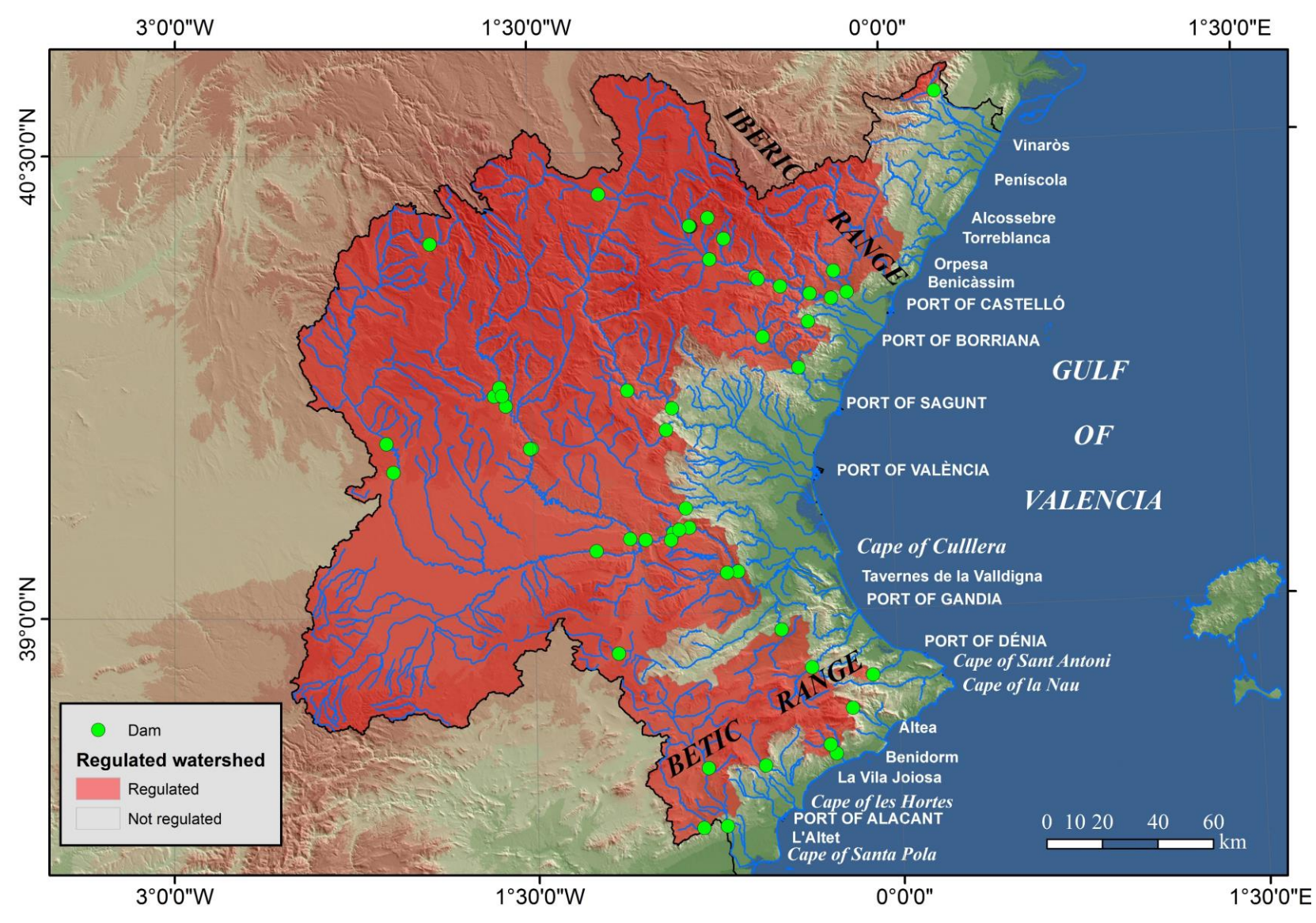








### Modificación aportes fluviales al sistema litoral



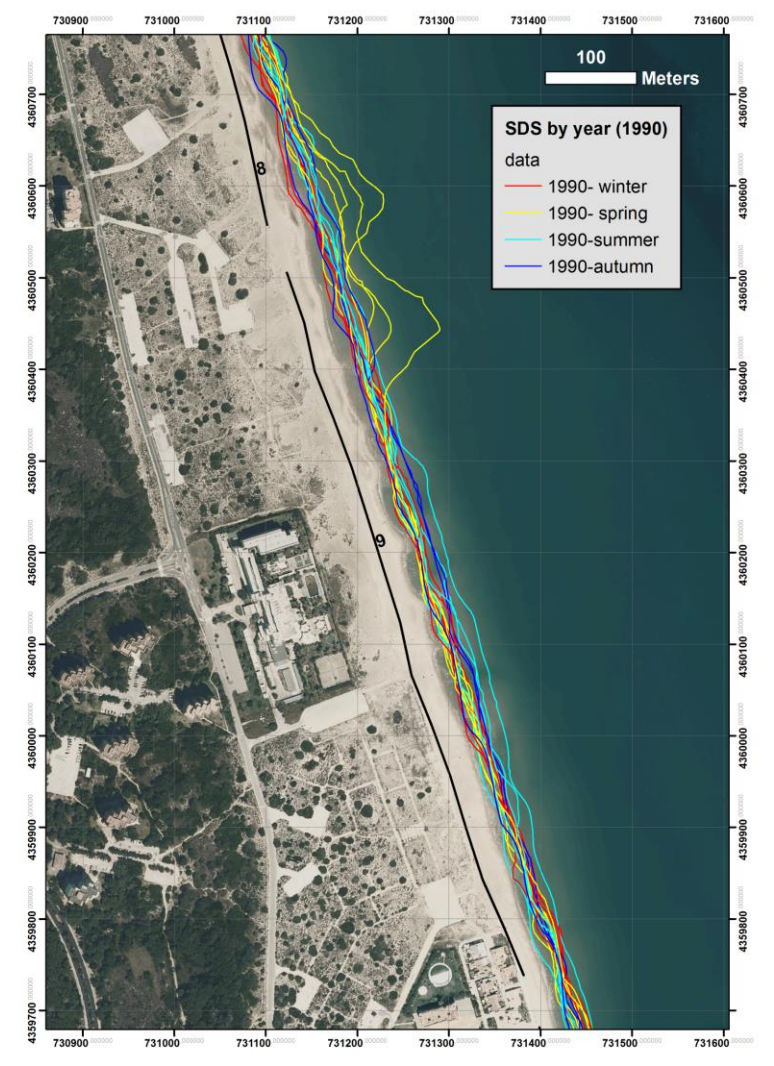




## **/**CGAT

UNIVERSITAT POLITÈCNICA DE VALÈNCIA

#### Aportes artificiales





Platja dels Ferros. Año 1990. Aportación artificial de arena muy fina adquirida de la playa sumergida situada al norte del puerto de Valencia extraída con una draga.

Líneas de costa deducidas de satélite (SDS) del año 1990 en la zona de la aportación. Se aprecia el ensanchamiento puntual de la playa y la regularización de la costa hecha por la acción marina.



## **//CGAT**

## Aportes artificiales







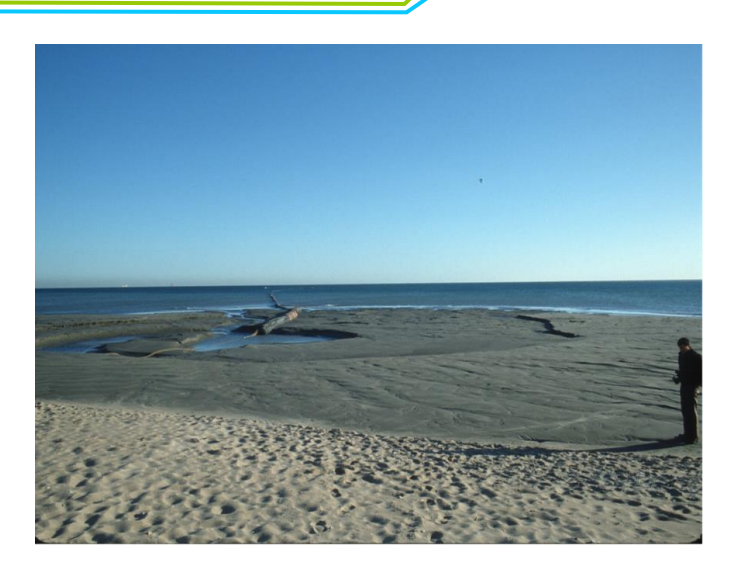






## Aportes artificiales

<u> </u>					
Section	Name of the beach	Year	Subaerial nourishment (m3)	Dune reconstruction (m3)	
1	Pinedo	1998	83000		
3	Arbre Gos	2007	35000		
3	Arbre Gos	2010	20594		
4	Saler	1999		541075	
4	Saler	2014	20000		
5	Creu	2015	14268		
8	Ferros-Garrofera	1990	500000		
9	Garrofera	2012	13000		
9	Garrofera	2017	17392		1
11	Brava	2001		52000	
12	Brava-Malladeta	2004		620000	
13	<u>Malladeta</u>	1988		16000	
13	Malladeta	1999		15000	
22	<u>Palmeres</u>	1986	30000		
22	Palmeres	1990	5062		
22	Palmeres	2004	16680		
22	<u>Palmeres</u>	2005	15000		
22	<u>Palmeres</u>	2016	10000		
22	<u>Palmeres</u>	2017	4333		
25	Rei	2007	29500		
31	Dosser	2010	66269		
31	Dosser	2017	7000		
	Total		887099	1244075	







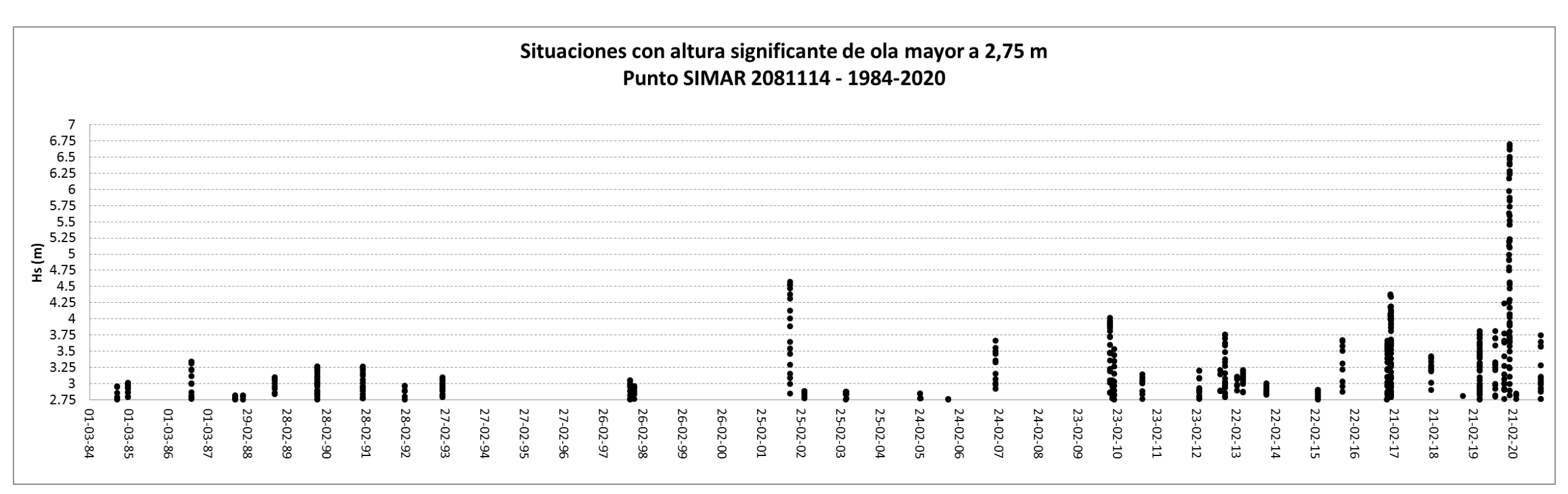




Incremento de frecuencia y magnitud de los temporales

## **CONDICIONES OCEANOGRÁFICAS**

Período 1984-2020

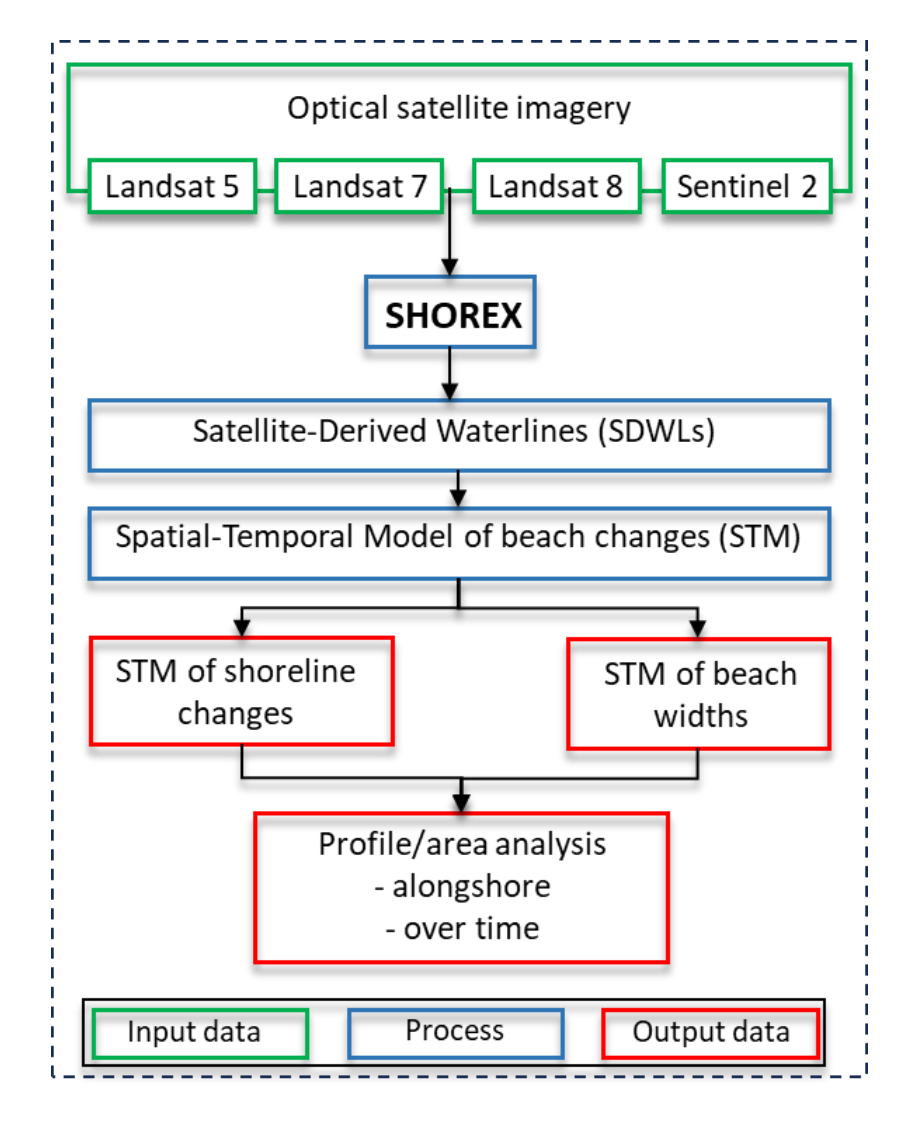


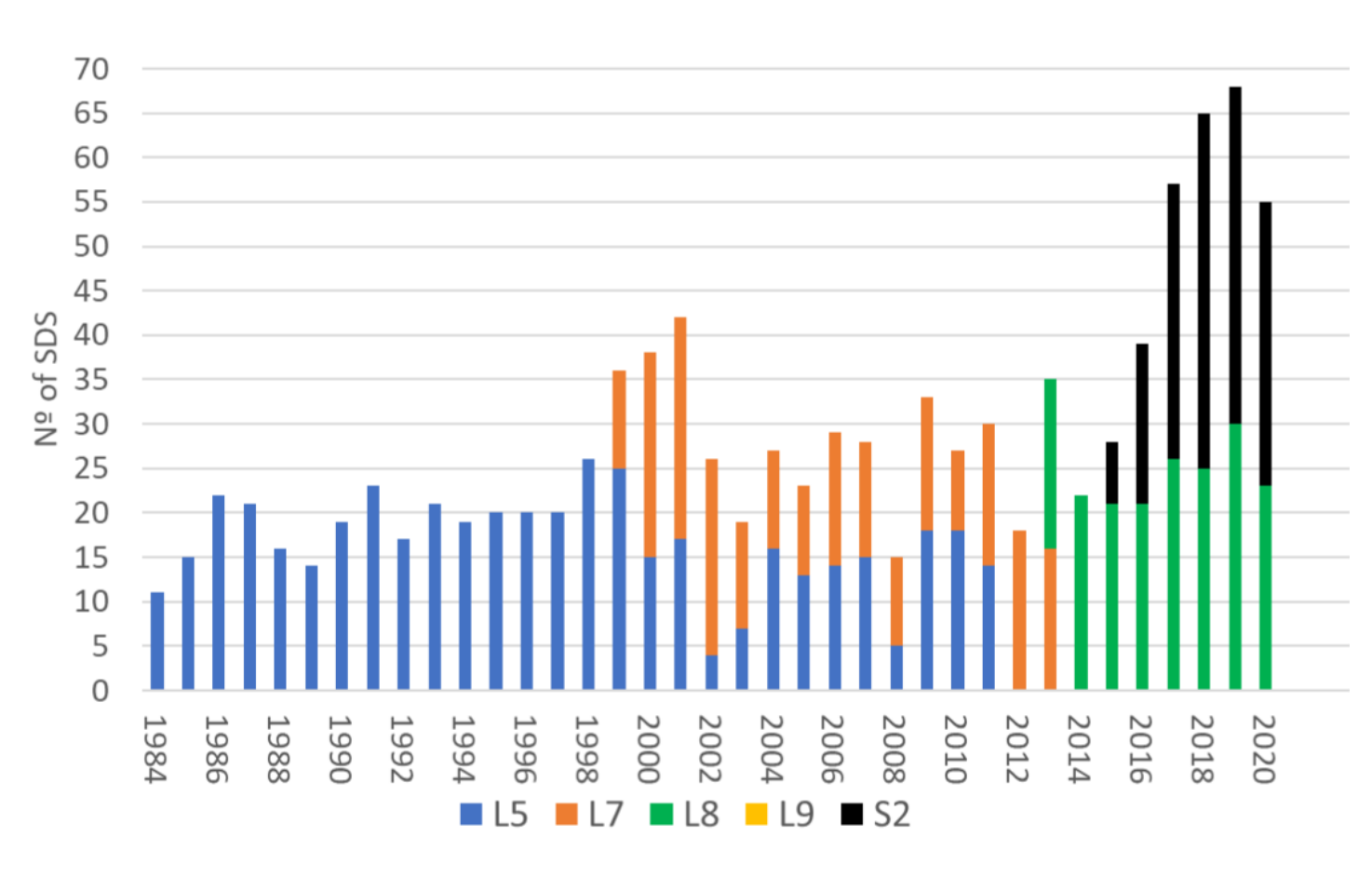






#### Monitorización sistemática de la evolución de las playas entre Valencia y Cullera (1984-2020)





Cantidad de SDS obtenidas y analizadas por cada uno de los años estudiados. En total se han analizado 1044 SDS.





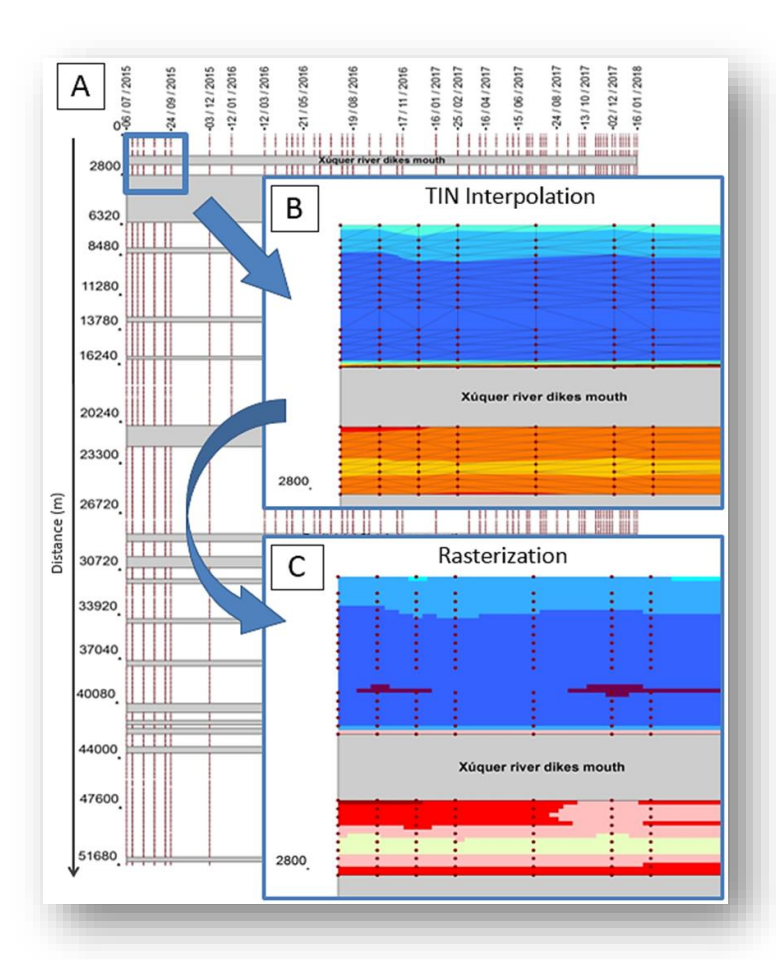


## ANÁLISIS DE LAS LÍNEAS DE COSTA DERIVADAS DE IMÁGENES DE SATÉLITE (SDS) MODELOS ESPACIO-TEMOPORALES DE ANCHO DE PLAYA Y DE CAMBIO DE





ANCHO DE PLAYA

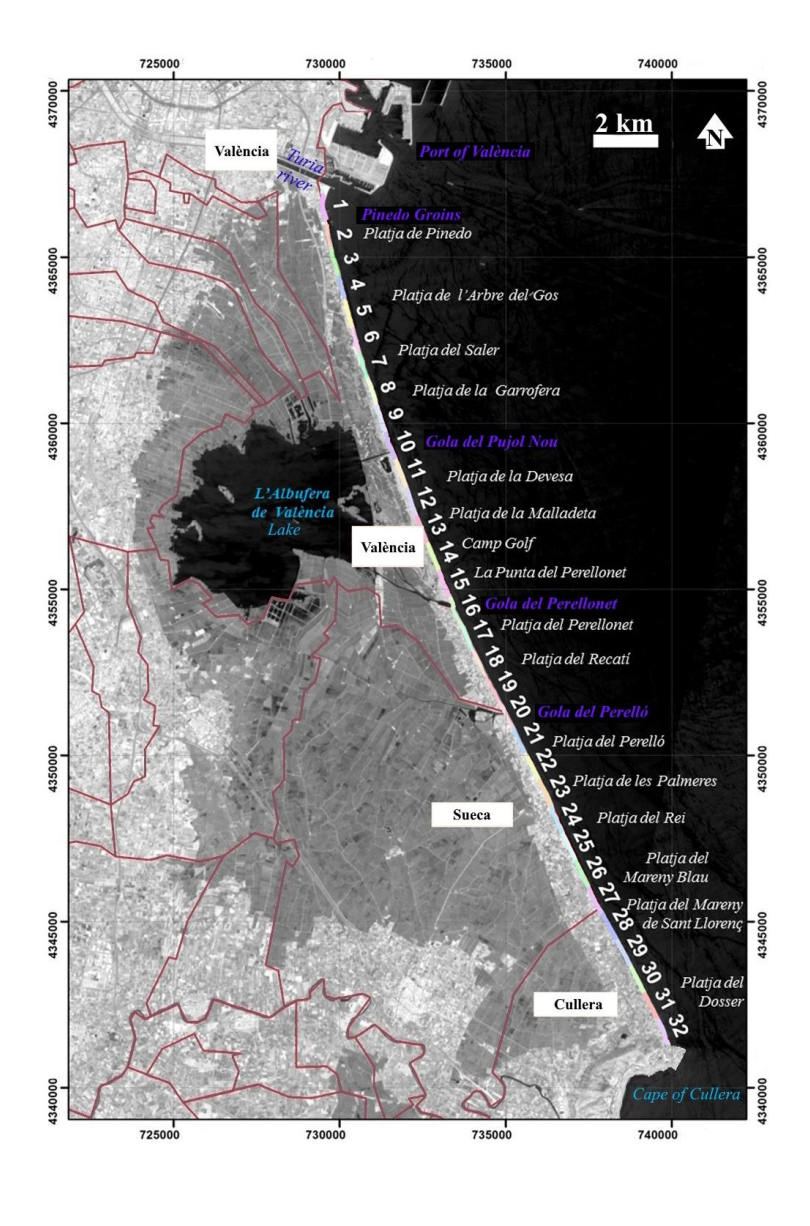


Para cada fecha se promedia por segmentos de 60 de longitud y se construye un modelo espaciotemporal de anchura de playa.









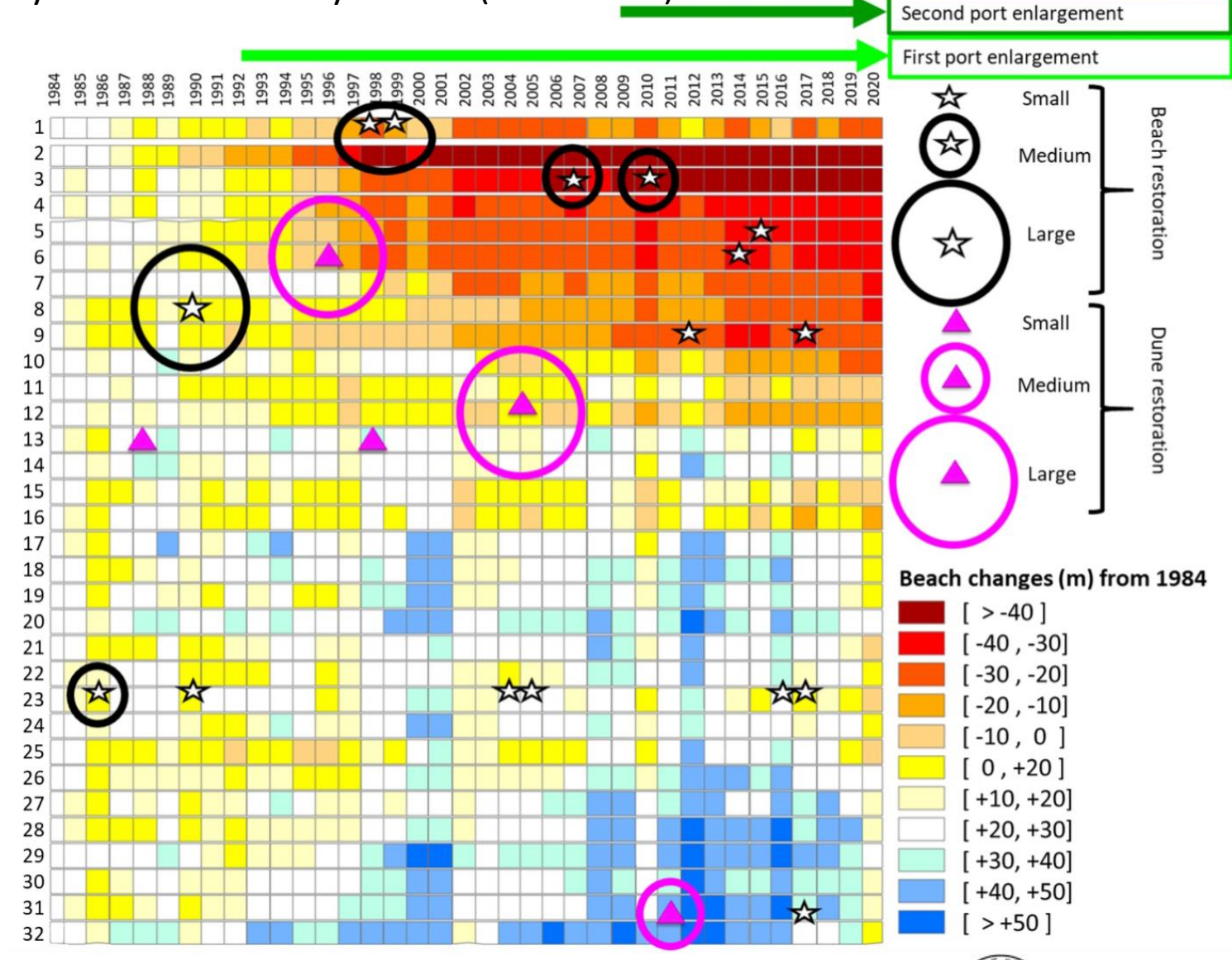






Monitorización sistemática de la evolución de las playas entre Valencia y Cullera (1984-2020)

Spatio-temporal model of the changes in beach width in each 60 m segment on each of the 923 dates analysed with respect to the first date for which data are available (25/05/1984). annual average values have been averaged for each of the 32 sections. Seaward shifts are shown in bluish colours, while landward shifts are shown in reddish. At the same time, the distribution of artificial sand inputs is presented and identified along time and space, differentiating between direct inputs to the beach and those used for the reconstruction of dunes. Source: data from the Spanish General Directorate for Coastal and Marine Sustainability (MITECO).









## PLAYAS Y PUERTO DE VALENCIA: UNA RELACIÓN COMPLEJA

Mesa Redonda sobre controversias del puerto

Josep E. Pardo Pascual

Grup de Cartografia GeoAmbiental i Teledetecció Dept. Eng. Cartogràfica, Geodesia i Fotogrametria UNIVERSITAT POLITÈNCICA DE VALÈNICA

#### **AGRADECIMIENTOS:**

Esta presentación es un resultado del subproyecto SIMONPLA (Sistema de Monitorización de Playas) integrado en el proyecto THINKINAZUL











This study forms part of the ThinkInAzul programme and was supported by MCIN with funding from European Union NextGenerationEU (PRTR-C17.I1) and by *Generalitat Valenciana* 













Software	SHOREX	SHOREX	SHOREX	SAET	SAET	SAET
Publication	Sánchez-García et al., 2020	Sánchez- García et al., 2019	Cabezas- Rabadán et al., 2020	Palomar-Vázquez et al., 2023	Pardo-Pascual et al., 2024	Cabezas-Rabadá et al., 2024
Coast	Mediterranean	Exposed Pacific	Exposed Atlantic	Semi-enclosed sea	6 NE Atlantic and 3 Mediterranean sites	Exposed Atlantic
Location	Cala <u>Millor</u> (Mallorca, Spain)	Reñaca (Central Chile)	Faro (Algarve, Portugal)	El <u>Saler</u> (E Spain)	Dutch coast, Mira (N Portugal), Basque Country (SW France), Ebro Delta and Valencian coast (E Spain)	La Victoria (SW <u>Spain)°</u>
Type*	Reflective	Dissipative	Reflective	Reflective	Reflective & dissipative	Dissipative
Tide	Microtidal	Microtidal	Mesotidal	Microtidal	Micro and mesotidal	Mesotidal
no. dates	91	7	24	4	9	18
Reference	Video	Video	GNSS cross- shore	GNSS alongshore	VHR images	Video
Acquisition (time lag)	Coincident	Coincident	Close dates (<7 days)	Close in time (minutes)	Close in time (minutes/hours)	Coincident
Accuracy Sentinel-2 (m)	3.01	4.55	4.58	3.23	3.7 - 13.5	5.96
Accuracy Landsat 8 (m)	3.57	4.55	5.77	3.19	-	-



